

$$J_e(z) = \sqrt{D_e / 2\pi} \sin \theta, \quad D_e = \gamma \cos \gamma - \sin \gamma + 8\theta \sin^2 \gamma, \quad (3.103)$$

Согласно (3.99) при $\psi = -\gamma$ ток открывающегося и при $\psi = \gamma$ ток закрывающегося вентилей равны нулю, что согласуется с физикой. Первый вентиль при $\psi = \gamma$ берёт на себя весь ток нагрузки. Формулы (3.95) и (3.99) совпадают с полученными в [11].

В частном случае, когда $z = 0$ ($\gamma = 0$) имеем для класса RL_∞

$$\lim_{N \rightarrow \infty} N \sin \gamma = 1/2 \theta, \quad (3.104)$$

$$J_e^{(RL_\infty)} = \lim_{n \rightarrow 0} J_e(n) = \lim_{n \rightarrow 0} N J_e(z) = \frac{\sin \theta}{\theta \sqrt{m}}, \quad (3.105)$$

$$U_o^{(RL_\infty)} = \lim_{N \rightarrow \infty} U_o = \lim_{N \rightarrow \infty} N I(z) = \theta^{-1} \sin \theta, \quad (3.106)$$

что соответствует физике ^{явления} и совпадает с результатами II-й главы.

Последнее выражение относится также к режиму х.х любых схем и может быть проще получено из правой части (3.102). Ток холостого хода ($\gamma = 0$)

$$I_{(z)хх} = \lim_{N \rightarrow \infty} I(z) = 0, \quad (3.107)$$

что физически очевидно. Из трансцендентного уравнения (3.93) получаем угол коммутации в режиме к.з. полезной нагрузки, подстановка которого в (3.83) даёт ток к.з. (табл. 3.2). Последний можно проще найти по аппроксимационной формуле

Таблица 3.2.

m	2	3	6	12
$V_{к.з.}$	2	2	4	7
$\gamma_{к.з.}$	19°40'	33°32'	2°36'	0°44'
$I_{(z) к.з.}$	0.637	0.956	1.91	3.82
$I_{(z) к.з. (ан)}$	0.64	0.96	1.92	3.84
$\delta I_{к.з.} [\%]$	0.47	0.42	0.43	0.53

$$I_{(z)к.з.} \approx 0,32 m, \quad (3.108)$$

Среднее значение напряжения в ре-

жиме к.з. $U_{а.кз} = \lim_{N \rightarrow 0} U_o = \lim_{N \rightarrow 0} N I_{(z)кз} = 0.$

К особенностям работы схем класса $\approx RL_\infty$ следует добавить то обстоятельство, что

явление коммутации наблюдается также и в двухфазных схемах (лучевой и мостовой) [60,153].

По расчётам, выполненным с помощью счётной машины "Вега", на рис. 3.12+3.15 представлены параметрические и нагрузочные характеристики. Кривые $U_0 = f(\pi, \kappa)$ отражают по существу также и внешние характеристики, которые в общепринятом виде (т.е. как $U_0 = f(I)$) и в приведённых (безразмерных) единицах показаны на рис. 3.16. Для получения нормированных характеристик приведённые достаточно привести к единичному масштабу, выбрав в качестве оснований $Q_U = U_{ох}$, $Q_I = I_{(2)кз}$

Квазиадекватность коммутационных состояний многофазных схем и критерий её оценки

Из внешнего сопоставления выражений при активной (см. §§ 3.1, 3.2, 3.3) и индуктивной (§ 3.6) нагрузках невозможно представить количественное отличие в энергетических показателях схем при изменении индуктивности от 0 до ∞ . Также трудно оценить его и, пользуясь графиками углов коммутации, на основе которых нередко и строится методика расчёта схем (см. рис. 3.12, где для общности показаны также результаты при ёмкостной нагрузке). И лишь параметрические (рис. 3.14), внешние (рис. 3.16, б) и особенно нагрузочные (рис. 3.15) характеристики наглядно иллюстрируют незначительность этих количественных расхождений.

Отметим, что внешние характеристики, совмещённые для различных видов нагрузки, обычно приводятся в известной литературе в чисто качественном виде, показывающем в общих чертах характер зависимостей. На рис. 3.16, б даны точные количественные соотношения для трех основных видов нагрузки, что позволяет прийти к конкретным выводам.

Кривые $U_0(\pi)$ или $U_0(I)$ при индуктивной нагрузке практически совпадают с кривыми при активной нагрузке во всём диапазоне нагру-

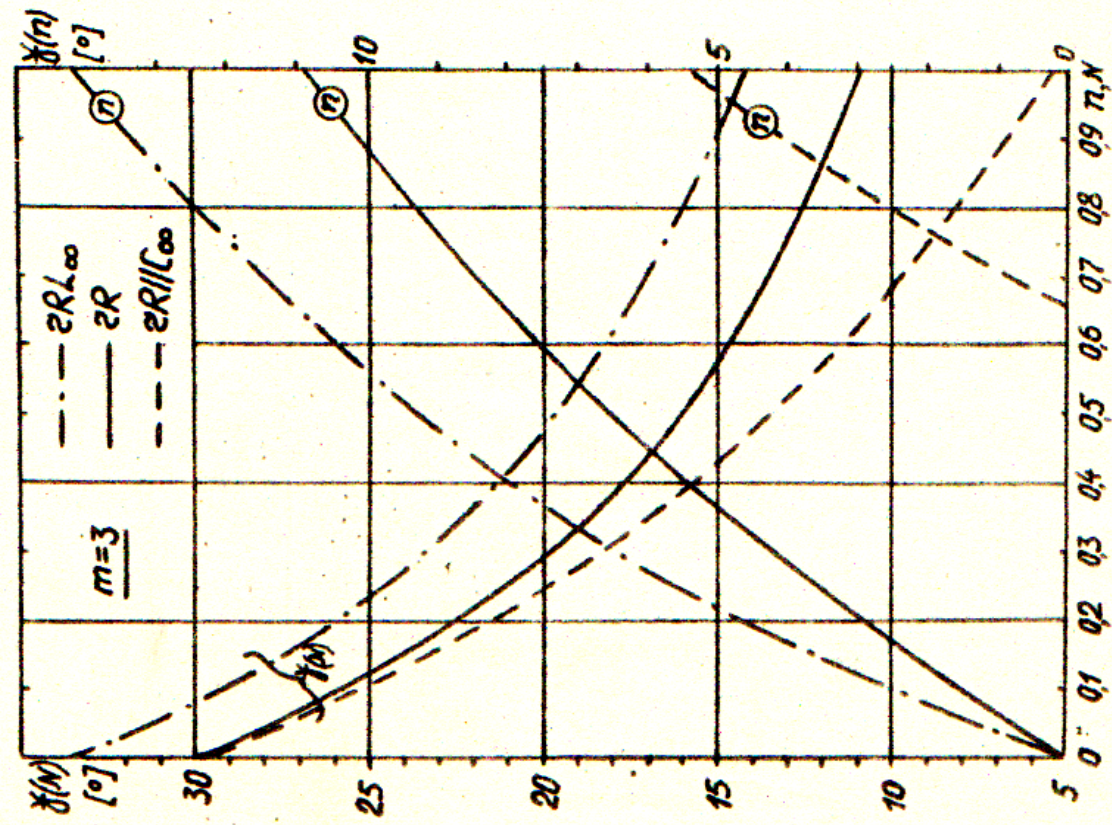


Рис. 3.12 Параметрические зависимости угла коммутации.

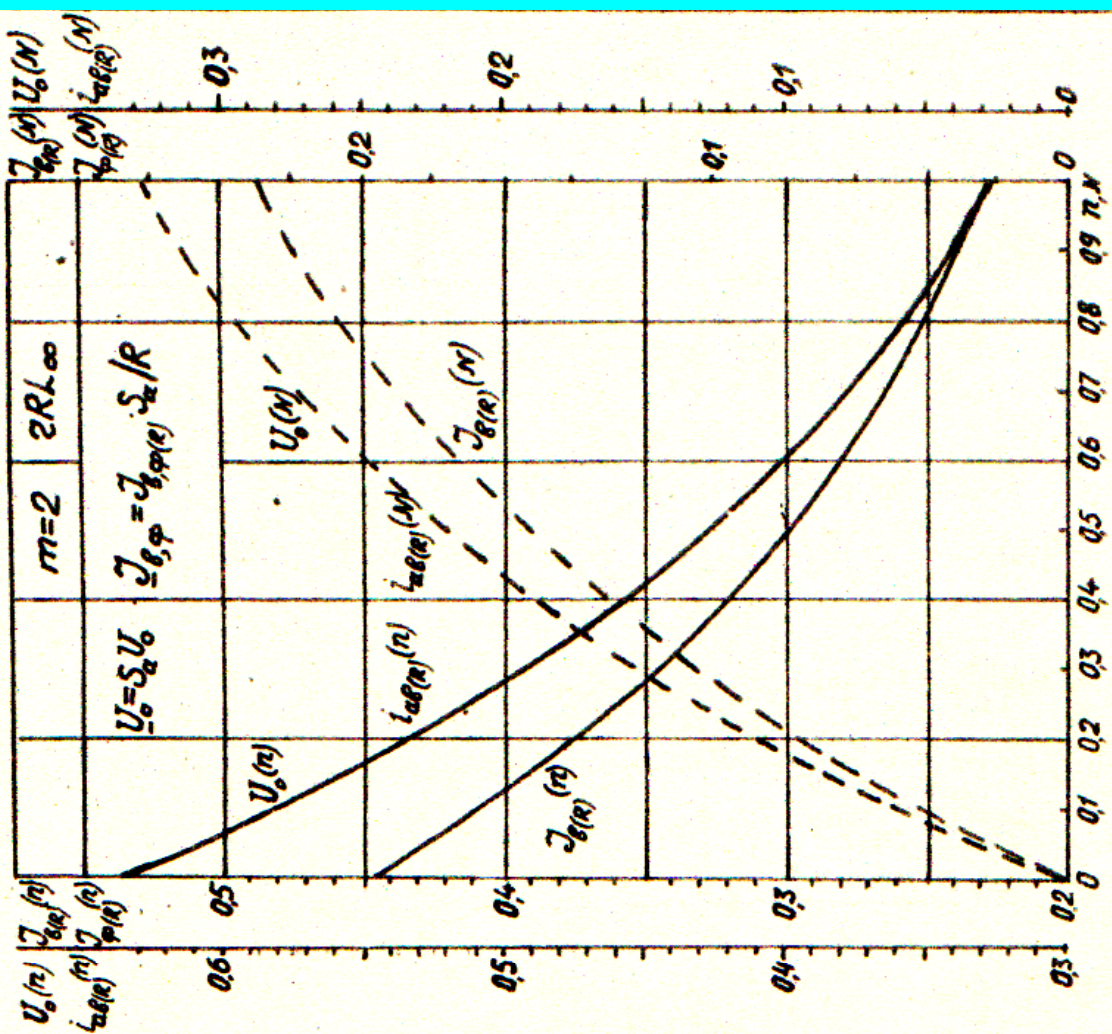


Рис. 3.13 Параметрические зависимости среднего значения напряжения полезной нагрузки, амплитудного и действующего значений тока вентиля (фазы).